

# Fenton 氧化水中间氯硝基苯的动力学与机制研究\*

李炳智

(上海市环境科学研究院,上海 200233)

**摘要** 结合 Fenton 氧化反应动力学模型研究了 Fenton 氧化水中间氯硝基苯(*m*-CINB)的影响因素和降解机制。结果表明:(1)反应初始 pH、 $H_2O_2$ 浓度、 $Fe^{2+}$ 浓度、污染物初始浓度和反应温度对 *m*-CINB 的降解均有明显影响。在反应初始 pH 为 3.5、*m*-CINB 初始摩尔浓度为 0.444 mmol/L、 $H_2O_2$ 摩尔浓度为 21.55 mmol/L、 $Fe^{2+}$ 摩尔浓度为 0.054 mmol/L、反应温度为(25±1)℃的条件下,*m*-CINB 的去除效果较好。(2)建立了 Fenton 氧化 *m*-CINB 的准一级反应动力学模型,且 *m*-CINB 的降解与该模型拟合良好。基于不同反应温度时的准一级反应速率常数( $k_{ap}$ ),得到了 *m*-CINB 降解的阿累尼乌斯公式,且活化能为 36.51 kJ/mol。(3)气相色谱(GC)/质谱(MS)和高效液相色谱(HPLC)/MS 分析表明,Fenton 氧化 *m*-CINB 的主要产物有 4-氯-2-硝基苯酚及其同分异构体、羟基乙酸、草酸、丁二酸、丙二酸、6-氯己酸、乙醛酸、2,2-二羟基丙二酸和 2-乙基丙二酸等。

**关键词** 间氯硝基苯 Fenton 氧化 动力学 机制 羟基自由基

**Decomposition kinetic and mechanism of meta-chloronitrobenzene by Fenton oxidation in aqueous solution** LI Bingzhi, (Shanghai Academy of Environmental Sciences, Shanghai 200233)

**Abstract:** In combination with a Fenton reaction kinetic model, influencing factors and degradation mechanism of *meta*-chloronitrobenzene (*m*-CINB) by Fenton oxidation in aqueous solution were investigated. The experimental results showed that initial pH, the concentrations of  $H_2O_2$ ,  $Fe^{2+}$ , *m*-CINB, and temperature exhibited great influences on *m*-CINB decomposition, and a better decomposition performance was observed at pH 3.5,  $H_2O_2$  21.55 mmol/L,  $Fe^{2+}$  0.054 mmol/L, *m*-CINB 0.444 mmol/L and (25±1) °C. The established pseudo first order kinetic model fitted well with the *m*-CINB degradation data in Fenton oxidation process, an empirical Arrhenius expression of *m*-CINB degradation was derived base on the reaction rate constants ( $k_{ap}$ ) at different temperature, the activation energy for its degradation was 36.51 kJ/mol. According to GC/MS and HPLC/MS analyses, the main intermediates were glycolic acid, oxalic acid, succinic acid, malonic acid, 6-chlorohexanoic acid, glyoxalic acid, mesoxalic acid and 2-ethyl malonic acid, 4-chloro-2-nitrophenol and its isomer.

**Keywords:** *meta*-chloronitrobenzene; Fenton; oxidation; kinetic; mechanism; hydroxyl radical

氯代硝基苯是一类重要的基础有机原料,广泛应用于医药、农药、染料、颜料、橡胶助剂和工程塑料等领域。我国是世界第一大氯代硝基苯生产与供应国,截至 2009 年 12 月底,我国氯代硝基苯总生产能力达到 58 万 t,占全球氯代硝基苯产能的份额约为 70%<sup>[1]</sup>。由于氯代硝基苯具有难生物降解、脂溶性和诱变致癌等特点,它可通过呼吸、摄食、皮肤接触等途径进入动物和人体内,能够诱发高铁血红蛋白症、贫血等一系列血液疾病,还能破坏肺、脾、肾、肝的功能,并直接损害神经系统和免疫系统、诱发癌变等<sup>[2-9]</sup>。随着工业废水的排放,国内一些主要水体均有氯代硝基苯检出<sup>[10-14]</sup>。因此,美国环境保护署(EPA)、欧共体(EEC)及我国先后将其列入优先控

制的持久性有机污染物(POPs),如何有效去除水中氯代硝基苯类污染物备受关注。

Fenton 氧化技术是一种常见的高级氧化技术,具有反应物简单易得、反应条件温和、高效、快速等优点,现已广泛应用于印染、化工、医药等有毒有害难降解废水的处理,具有良好的应用前景,成为诸多学者的研究热点。王世和等<sup>[15]</sup>采用 Fenton 氧化技术处理邻、对氯硝基苯废水及混合废水,COD 去除率高达 40.9%。班福忱等<sup>[16]</sup>以活性炭纤维为阴极、廉价的铁板为阳极,同时阴极吹氧的电-Fenton 法氧化 140 mg/L 的五氯硝基苯废水,当 pH 为 3、反应 60 min、电流密度为 17.26 A/m<sup>2</sup> 时,五氯硝基苯去除率达 90%以上。陈芳艳等<sup>[17]</sup>采用微波辐射诱导

作者:李炳智,男,1979 年生,博士,工程师,主要从事水污染控制与治理研究工作。

\* 上海市自然科学基金面上项目(No. 12ZR1426500);上海市环保局重大科研资助项目(沪环科 2012-07)。

Fenton 氧化工艺处理对氯硝基苯废水,结果表明,当  $H_2O_2$  用量为 3.0 g/L、 $Fe^{2+}$  用量为 160 mg/L、pH 为 3.0、微波功率为 800 W、辐射时间为 10 min 时,对氯硝基苯和 COD 的去除率分别可达 98.9% 和 90.8%。但由于 Fenton 氧化过程较复杂,涉及反应众多,鲜有学者从 Fenton 氧化反应的内在机制层面探讨氯代硝基苯氧化动力学进行探讨。本研究以间氯硝基苯(*m*-CINB)为目标污染物,结合反应动力学模型探讨了 Fenton 氧化水中 *m*-CINB 的影响因素和降解机制,对于提高 Fenton 氧化 *m*-CINB 的效率具有重要意义。

## 1 实验部分

### 1.1 供试废水

供试废水为 *m*-CINB 模拟废水,临用前精确称取一定质量 *m*-CINB 投入 5 L 广口瓶内,去离子水定容、密封、置于磁力搅拌器上搅拌至溶解,母液质量浓度约为 200 mg/L,备用。

### 1.2 实验材料与仪器

*m*-CINB(纯度 98%, 美国 Acros Organics); 4-氯-2-硝基苯酚(纯度 > 99.5%); 甲基叔丁基醚(MtBE, 色谱纯, 德国 Merck); N,O-双(三甲基硅烷基)三氟乙酰胺(BSTFA)-1%(质量分数)三甲基氯硅烷(TMCS)衍生化试剂(美国 Supelco); ENVI-Chromp 型固相萃取小柱(美国 Supelco);  $H_2O_2$ (质量分数为 30%)、硫酸亚铁( $FeSO_4 \cdot 7H_2O$ )、叔丁醇(TBA)、 $H_2SO_4$  和 NaOH 均为分析纯。

6890N/5975B 型气相色谱(GC)/质谱(MS)联用仪(美国 Agilent); 1100 型高效液相色谱(HPLC)/MS 联用仪(美国 Agilent); R-210/215 型旋转蒸发器(瑞士 Buchi); Delta320 型精密 pH 计; JBZ-14B 型恒温磁力搅拌器。

### 1.3 实验方法

实验在 1 000 mL 的具塞平底烧瓶内进行,瓶体外部为一玻璃夹套,其间通循环水以确保反应过程温度恒定。

每次实验开始前,向平底烧瓶内移入既定体积和质量的 *m*-CINB 母液和  $FeSO_4 \cdot 7H_2O$ ,然后用  $N_2$  脱氧的去离子水稀释至 1 000 mL,开启磁力搅拌器,转速 400 r/min。利用 1 mol/L  $H_2SO_4$  和 NaOH 溶液调节 pH 至指定值。迅速向平底烧瓶内投加既定体积的  $H_2O_2$ ,开始反应。每隔一定的时间间隔,

取样分析。为防止过量的羟基自由基( $\cdot OH$ )干扰实验结果,样品中加入 1 mL 1 mol/L 的 TBA 作为反应终止剂。

### 1.4 分析方法

*m*-CINB 浓度用 HPLC 测定,Zorbax SB-C18 柱(4.6 mm × 150 mm × 5.0  $\mu m$ ),流动相甲醇/水(体积比为 70 : 30),流速为 1.0 mL/min,检测波长 254 nm,进样体积 10  $\mu L$ ,柱温 30 °C。外标法定量,对系列浓度水溶液进行加标回收率测定,回收率为 94% ~ 103%。

定性分析 *m*-CINB 主要氧化产物时,取 1.0 L 污染物溶液(质量浓度约 100 mg/L)首先进行 Fenton 氧化处理,每隔 2 min 取样 60 mL,反应结束后将其混合,调节 pH 为 2.0,再通过固相萃取(SPE)技术进行样品浓缩,然后进行 GC/MS 和 HPLC/MS 分析。GC/MS 为电子轰击离子(EI)源,轰击电压 70 eV, HP-5MS 柱(30 m × 0.25 mm × 0.25  $\mu m$ ),不分流,载气为高纯氦,流速 1.0 mL/min,初温 50 °C(保持 2 min),10 °C/min 升至 150 °C(保持 1 min),之后 20 °C/min 升至 270 °C(保持 5 min),进样口温度 250 °C,接口温度 280 °C。先通过与 NIST05 质谱数据库比对,然后与纯物质的停留时间比较,进行产物的辨认。

HPLC/MS 为四极杆质量检测器(MSD),Zorbax SB-C18 柱(2.1 cm × 150 cm × 3.5  $\mu m$ )进行组分分离。测试条件:甲醇/水(体积比为 80 : 20)流动相,检测波长 254 nm,电喷雾离子化(ESI),负离子检测,气化电压为 5.0 kV,气化温度为 350 °C,提取电压为 -15 V,全扫描和选择离子模式。

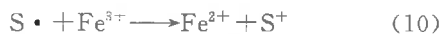
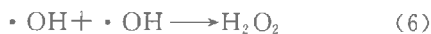
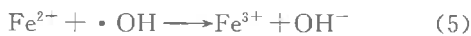
在分析 *m*-CINB 降解产生的小分子羧酸物质时,氧化后的混合水溶液萃取、浓缩后加 1 mL BSTFA-1% TMCS,80 °C 水浴 30 min 后,提取样品进行 GC/MS 分析。

## 2 结果与讨论

### 2.1 反应动力学模型构建

自 Fenton 试剂发现以来,学术界关于 Fenton 氧化原理的争论从未停止过,主要集中在反应主要氧化剂为  $OH$  和反应主要以铁为中心的高价铁瞬间物种两种理论的争辩。本研究依据  $OH$  理论对 Fenton 氧化反应过程中的机制进行探讨。经典的 Fenton 化学认为: $H_2O_2$  和  $Fe^{2+}$  在 pH 约 3.0 时包

含式(1)至式(7)的反应方程<sup>[18-21]</sup>,二级反应速率常数分别为76、 $1.0 \times 10^{-3}$ ~ $2.0 \times 10^{-3}$ 、 $3.1 \times 10^5$ 、 $1.2 \times 10^7$ ~ $4.5 \times 10^7$ 、 $4.3 \times 10^8$ 、 $5.30 \times 10^9$ 、 $1.0 \times 10^{10}$  L/(mol·s)。Fenton氧化体系中,·OH进攻污染物分子(S)致使其被氧化,反应方程式如式(8)至式(10)所示,其中式(9)的二级反应速率常数为 $10^7$ ~ $10^{10}$  L/(mol·s)。因此,Fenton氧化m-CINB的机制可简化为式(11)和式(12),其中S'为S的反应产物;S<sub>j</sub>为第j种猝灭物质(如中间产物、过量H<sub>2</sub>O<sub>2</sub>、Fe<sup>2+</sup>、·OH、HO<sub>2</sub>·等);S'<sub>j</sub>为S<sub>j</sub>的反应产物;k<sub>11</sub>和k<sub>12</sub>分别为式(11)和式(12)的表观速率常数,L/(mol·s)。



由此,m-CINB和·OH的动力学方程可表示为:

$$-\frac{dc_s}{dt} = k_{11} c_{\text{H}_2\text{O}_2} c_{\text{Fe}^{2+}} \cdot\text{OH} \quad (13)$$

$$\frac{dc \cdot\text{OH}}{dt} = k_1 c_{\text{H}_2\text{O}_2} c_{\text{Fe}^{2+}} - k_{11} c_s c \cdot\text{OH} - \sum_j k_{12} c_{s_j} c \cdot\text{OH} \quad (14)$$

式中c<sub>s</sub>为污染物摩尔浓度, mol/L;t为时间,s;c·OH为·OH摩尔浓度, mol/L;k<sub>1</sub>为式(11)的二级反应速率常数, L/(mol·s);c<sub>H<sub>2</sub>O<sub>2</sub></sub>为H<sub>2</sub>O<sub>2</sub>摩尔浓度, mol/L;c<sub>Fe<sup>2+</sup></sub>为Fe<sup>2+</sup>摩尔浓度, mol/L。

假定反应过程活性自由基浓度处于稳态,基于稳态假设,在特定时间内·OH浓度不随时间发生变化,即式(15)成立。因此,将式(14)和式(15)整理得到式(16)。将式(16)代入式(13)得到式(17)。

$$dc \cdot\text{OH}/dt = 0 \quad (15)$$

$$c \cdot\text{OH} = \frac{k_1 c_{\text{H}_2\text{O}_2} c_{\text{Fe}^{2+}}}{k_{11} c_s + \sum_j k_{12} c_{s_j}} \quad (16)$$

$$-\frac{dc_s}{dt} = \frac{k_{11} k_1 c_{\text{H}_2\text{O}_2} c_{\text{Fe}^{2+}}}{k_{11} c_s + \sum_j k_{12} c_{s_j}} c_s \quad (17)$$

在Fenton氧化技术实际应用过程中,特定条件下式(17)可进一步简化:

(1)如果c<sub>s</sub>很高,c<sub>H<sub>2</sub>O<sub>2</sub></sub>偏低,致使·OH浓度极低,这时 $k_{11} c_s \gg \sum_j k_{12} c_{s_j}$ ,式(17)可简化为相对于污染物的零级反应,即:

$$-\frac{dc_s}{dt} = k_{11} c_{\text{H}_2\text{O}_2} c_{\text{Fe}^{2+}} \quad (18)$$

(2)如果c<sub>H<sub>2</sub>O<sub>2</sub></sub>gg;c<sub>s</sub>,那么 $k_{11} c_s \ll \sum_j k_{12} c_{s_j}$ ,式(17)可简化为式(19)或式(20)。式(20)的积分形式为式(21)。

$$-\frac{dc_s}{dt} = \frac{k_{11} k_1 c_{\text{H}_2\text{O}_2} c_{\text{Fe}^{2+}}}{\sum_j k_{12} c_{s_j}} c_s \quad (19)$$

$$-\frac{dc_s}{dt} = k_{ap} c_s \quad (20)$$

$$\ln\left(\frac{c_{s_0}}{c_s}\right) = k_{ap} t \quad (21)$$

式中:k<sub>ap</sub>为相对于污染物的准一级反应速率常数,s<sup>-1</sup>;c<sub>s<sub>0</sub></sub>为污染物初始摩尔浓度, mol/L。

## 2.2 反应初始pH的影响

研究了不同因素(反应初始pH、H<sub>2</sub>O<sub>2</sub>浓度、Fe<sup>2+</sup>浓度、m-CINB初始浓度和反应温度)对Fenton氧化m-CINB动力学的影响。由于本研究反应过程中,c<sub>H<sub>2</sub>O<sub>2</sub></sub>gg;c<sub>s</sub>,故利用式(21)对实验结果进行拟合。

在m-CINB初始摩尔浓度为0.444 mmol/L、H<sub>2</sub>O<sub>2</sub>摩尔浓度为13.71 mmol/L、Fe<sup>2+</sup>摩尔浓度为0.054 mmol/L、反应温度为(25±1)℃的条件下,反应初始pH(2.0~4.0)对m-CINB降解的影响如图1所示,对k<sub>ap</sub>的影响如图2所示。由图1可见,当反应初始pH为3.5时,m-CINB的降解较好地符合准一级反应动力学模型( $R=0.95187$ )。

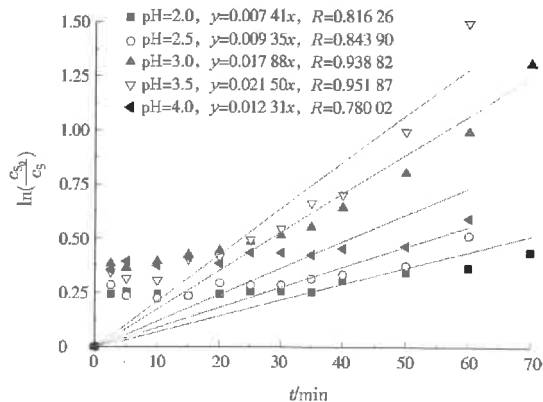


图1 反应初始pH对m-CINB降解的影响  
Fig. 1 Effect of initial pH values on m-CINB decomposition

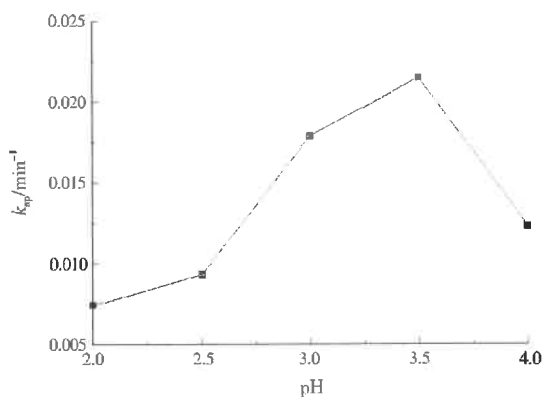


图 2 反应初始 pH 对  $k_{ap}$  的影响  
Fig. 2 Effect of the initial pH on the  $k_{ap}$  of *m*-CINB

由图 2 可见,当反应初始 pH 从 2.0 增加至 3.5 时,  $k_{ap}$  迅速增加;当反应初始 pH 超过 3.5 后,  $k_{ap}$  迅速下降。可知, *m*-CINB 的降解受反应初始 pH 影响显著,且最佳反应初始 pH 为 3.5。当反应初始 pH 较低( $pH < 3.5$ )时  $k_{ap}$  较低的原因是由于  $H_2O_2$  强的质子溶剂化能力生成了氧鎋离子、 $[Fe(H_2O)_6]^{2+}$  和  $[Fe(H_2O)_6]^{3+}$  络合物<sup>[22]</sup>,从而提高了低 pH 时  $\cdot OH$  通过  $H^+$  的猝灭<sup>[23]</sup>;较高反应初始 pH( $pH > 3.5$ )时  $k_{ap}$  较低的原因可能是生成了催化能力弱于  $Fe^{2+}$  的  $Fe(OH)_2$  或  $Fe(OH)_3$ 。

### 2.3 $H_2O_2$ 浓度的影响

在反应初始 pH 为 3.5, *m*-CINB 初始摩尔浓度为 0.444 mmol/L,  $Fe^{2+}$  摩尔浓度为 0.054 mmol/L, 反应温度为(25±1)℃的条件下,  $H_2O_2$  摩尔浓度(2.70~43.10 mmol/L)对 *m*-CINB 降解的影响如图 3 所示,对  $k_{ap}$  的影响如图 4 所示。由图 3 可知,准一级反应动力学模型与 *m*-CINB 的降解曲线拟合良好。由图 4 可知,随着  $H_2O_2$  摩尔浓度由 2.70 mmol/L 增加到 21.55 mmol/L,  $k_{ap}$  逐渐增大;当  $H_2O_2$  摩尔浓度继续增大至 43.10 mmol/L 时,反而导致  $k_{ap}$  下降。这个现象可从  $H_2O_2$  临界浓度角度加以解释。通常而言,  $H_2O_2$  浓度低于某一临界浓度值时,污染物的降解速率随着  $H_2O_2$  浓度的增加,其分解产生的  $\cdot OH$  浓度亦相应增加;但当  $H_2O_2$  浓度超过此临界浓度值时,污染物的降解速率就会由于过量  $H_2O_2$  和生成的  $HO_2\cdot$  对  $\cdot OH$  的消耗而下降<sup>[24]</sup>。

### 2.4 $Fe^{2+}$ 浓度的影响

在反应初始 pH 为 3.5, *m*-CINB 初始摩尔浓度为 0.444 mmol/L,  $H_2O_2$  摩尔浓度为 21.55 mmol/L, 反应温度为(25±1)℃的条件下,  $Fe^{2+}$  摩尔浓度(0.027~0.357 mmol/L)对 *m*-CINB 降解的影响如

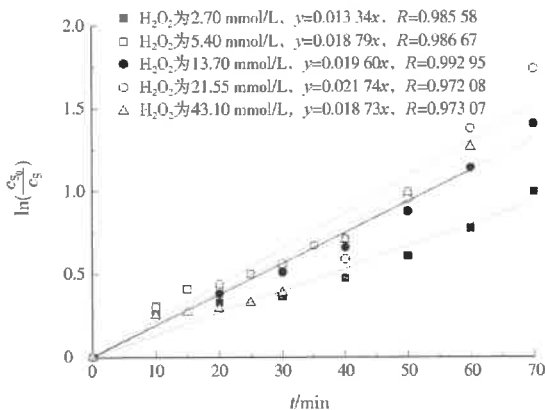


图 3  $H_2O_2$  摩尔浓度对 *m*-CINB 降解的影响  
Fig. 3 Effect of initial  $H_2O_2$  concentrations on *m*-CINB decomposition

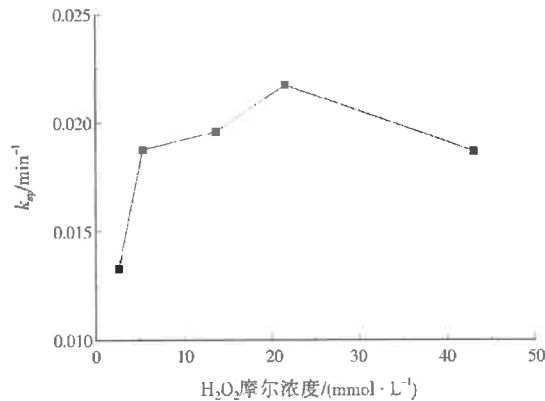


图 4  $H_2O_2$  摩尔浓度对  $k_{ap}$  的影响  
Fig. 4 Effect of the initial  $H_2O_2$  concentration on the  $k_{ap}$  of *m*-CINB

图 5 所示,对  $k_{ap}$  的影响如图 6 所示。由图 5 和图 6 可知, *m*-CINB 的降解遵从准一级反应动力学模型;  $k_{ap}$  伴随  $Fe^{2+}$  浓度的增加而呈线性增加( $R > 0.99$ )。这是因为  $Fe^{2+}$  在 Fenton 氧化体系引发  $H_2O_2$  分解产

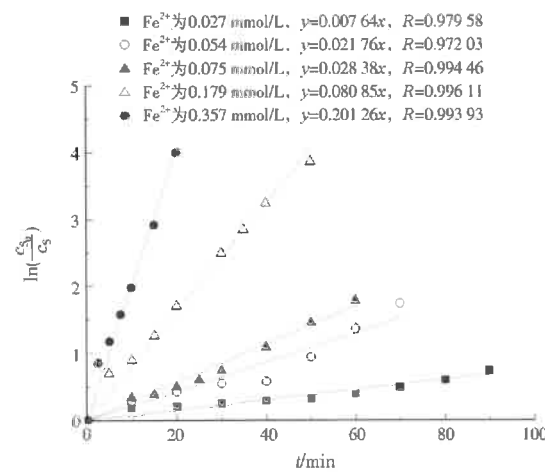


图 5  $Fe^{2+}$  摩尔浓度对 *m*-CINB 降解的影响  
Fig. 5 Effect of  $Fe^{2+}$  concentrations on *m*-CINB decomposition

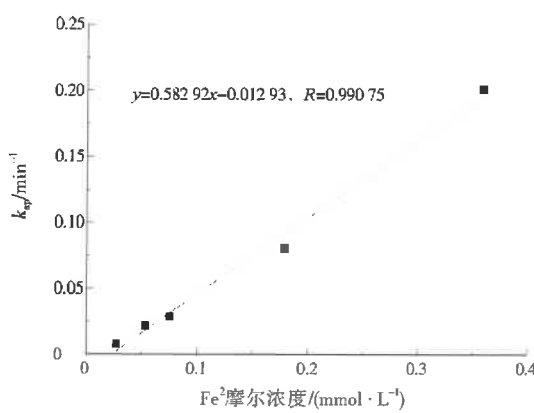
图 6  $\text{Fe}^{2+}$  摩尔浓度对  $k_{ap}$  的影响

Fig. 6 Effect of  $\text{Fe}^{2+}$  concentration on the  $k_{ap}$  of *m*-CINB  
生高活性·OH的过程中发挥了重要作用。然而，投加过高浓度的  $\text{Fe}^{2+}$  亦不可取，会导致产生大量的铁泥，铁泥的分离及后续处理会使污染物的降解变得更加复杂。

## 2.5 污染物初始浓度的影响

在反应初始 pH 为 3.5、 $\text{H}_2\text{O}_2$  摩尔浓度为 21.55 mmol/L、 $\text{Fe}^{2+}$  摩尔浓度为 0.054 mmol/L、反应温度为  $(25 \pm 1)$  °C 的条件下，*m*-CINB 初始摩尔浓度（0.290~0.950 mmol/L）对其降解的影响如图 7 所示，对  $k_{ap}$  的影响如图 8 所示。由图 7 和图 8 可知，*m*-CINB 的降解很好地遵从准一级反应动力学模型，且  $k_{ap}$  亦随 *m*-CINB 浓度的增加而线性减小。

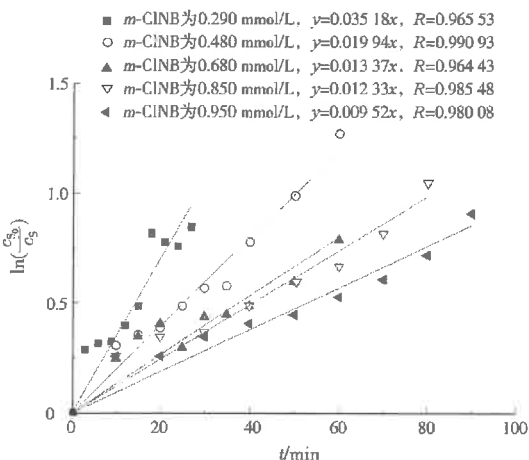


图 7 *m*-CINB 初始摩尔浓度对其降解的影响  
Fig. 7 Effect of the initial *m*-CINB concentration on its decomposition

## 2.6 反应温度的影响

在反应初始 pH 为 3.5、*m*-CINB 初始摩尔浓度为 0.444 mmol/L、 $\text{H}_2\text{O}_2$  摩尔浓度为 21.55 mmol/L、 $\text{Fe}^{2+}$  摩尔浓度为 0.054 mmol/L 的条件下，反应温度（5~45 °C）对 *m*-CINB 降解的影响如图 9 所示，对

$k_{ap}$  的影响如图 10 所示。由图 9 和图 10 可知，准一级反应动力学模型与 *m*-CINB 的降解曲线拟合良好， $k_{ap}$  随反应温度的增加而增大。

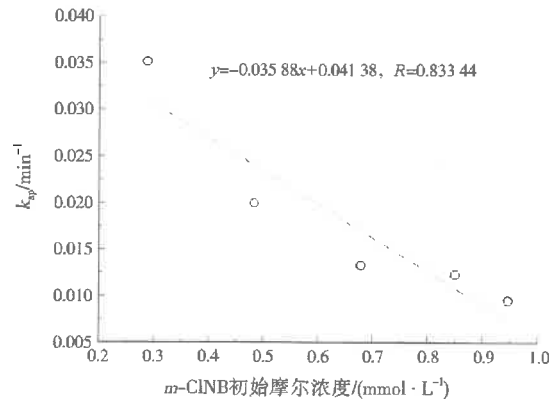


图 8 *m*-CINB 初始摩尔浓度对  $k_{ap}$  的影响  
Fig. 8 Effect of the initial *m*-CINB concentration on  $k_{ap}$  of *m*-CINB

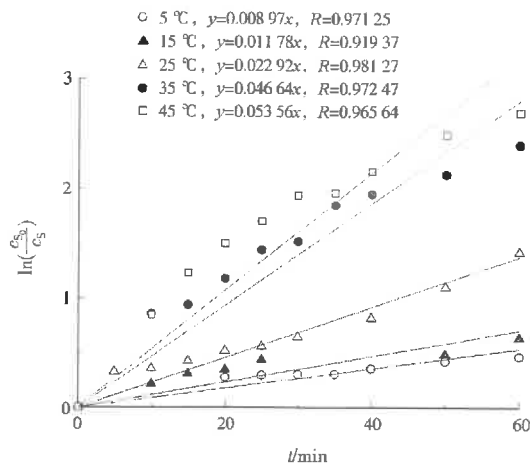


图 9 反应温度对 *m*-CINB 降解的影响  
Fig. 9 Effect of temperature on *m*-CINB decomposition

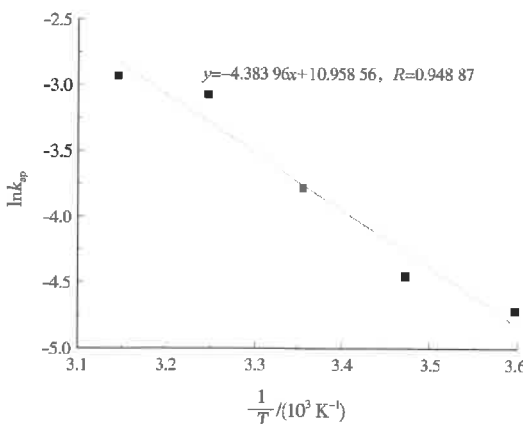


图 10 反应温度对  $k_{ap}$  的影响  
Fig. 10 Effect of temperature on  $k_{ap}$  of *m*-CINB

阿累尼乌斯公式给出了反应温度与表观反应速

率( $k, \text{min}^{-1}$ )的关系,如式(22)所示。由于本研究反应温度变化范围较窄, $A$ 和 $E$ 的细微变化可以忽略。

$$k = A \exp\left(-\frac{E}{R' T}\right) \quad (22)$$

式中: $A$ 为指前因子, $\text{min}^{-1}$ ;  $E$ 为活化能, $\text{J/mol}$ ;  $R'$ 为理想气体常数, $\text{J}/(\text{mol} \cdot \text{K})$ ,  $R' = 8.314 \text{ J}/(\text{mol} \cdot \text{K})$ ,  $T$ 为反应绝对温度, $\text{K}$ 。

由此,将  $\ln k_{ap}$  与  $1/T$  作图,得到图 10。两者呈现出良好的线性( $R=0.94887$ )。根据图 10 的斜率( $-E/R'$ )和截距( $\ln A$ ),得到式(22)的  $E=36.51 \text{ kJ/mol}$ 、 $A=4.73 \times 10^5 \text{ min}^{-1}$ ,因此  $m\text{-CINB}$  降解的阿累尼乌斯公式可表示为:

$$k = 4.73 \times 10^5 \exp\left(-\frac{36.51 \times 10^3}{R' T}\right) \quad (23)$$

## 2.7 氧化产物鉴定与机制推测

利用 GC/MS 和 HPLC/MS 分析了 Fenton 氧化  $m\text{-CINB}$  的主要产物,结果见图 11。GC/MS 分析时,分别在停留时间为 4.779、6.040 min 时检测到两个峰,与 NIST05 质谱数据库比对结果均为 4-氯-2-硝基苯酚及其同分异构体,匹配率分别为 94% 和 90%,同时在  $m\text{-CINB}$  的 HPLC/MS 质谱图中有质荷比( $m/z$ )为 172 的负离子峰,初步判定可能为氯代硝基苯酚(分子量为 173)。此外,GC/MS

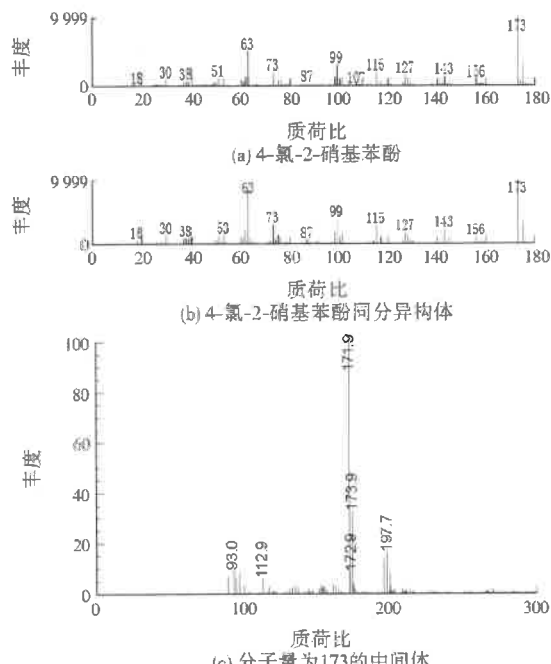


图 11 Fenton 氧化  $m\text{-CINB}$  的主要产物的 GC/MS 和 HPLC/MS 分析图

Fig. 11 GC/MS and HPLC/MS spectrums of pivotal intermediates during Fenton oxidation of  $m\text{-CINB}$

分析检测到  $m\text{-CINB}$  降解过程产生的几种小分子羧酸:羟基乙酸、草酸、丁二酸、丙二酸、6-氯己酸、乙醛酸、2,2-二羟基丙二酸和 2-乙基丙二酸等。

综合 Fenton 氧化  $m\text{-CINB}$  的主要产物的分析,Fenton 氧化  $m\text{-CINB}$  可能的降解途径见图 12。与芳烃的亲电取代反应相似, $\cdot\text{OH}$  进攻芳环后,迅速形成  $\sigma$  络合物,相继脱去一分子水生成 4 种氯代硝基苯酚(6-氯-2-硝基苯酚、6-氯-4-硝基苯酚、5-氯-3-硝基苯酚和 4-氯-2-硝基苯酚),上述产物进一步在  $\cdot\text{OH}$  等作用下开环,脱氯脱硝基再转化成小分子的醛、酮、羧酸和其他物质等,然后矿化为水和  $\text{CO}_2$  等。

## 3 结 论

(1) 反应初始 pH、 $\text{H}_2\text{O}_2$  浓度、 $\text{Fe}^{2+}$  浓度、污染物初始浓度和反应温度对  $m\text{-CINB}$  的降解均有明显影响。在反应初始 pH 为 3.5、 $m\text{-CINB}$  初始摩尔浓度为 0.444 mmol/L、 $\text{H}_2\text{O}_2$  摩尔浓度为 21.55 mmol/L、 $\text{Fe}^{2+}$  摩尔浓度为 0.054 mmol/L、反应温度为(25±1) °C 的条件下, $m\text{-CINB}$  的去除效果较好。

(2) 建立了 Fenton 氧化  $m\text{-CINB}$  的准一级反应动力学模型,且  $m\text{-CINB}$  的降解与该模型拟合良好。基于不同反应温度时的  $k_{ap}$ ,得到了  $m\text{-CINB}$  降解的阿累尼乌斯公式,且  $E=36.51 \text{ kJ/mol}$ 。

(3) GC/MS 和 HPLC/MS 分析表明,Fenton 氧化  $m\text{-CINB}$  的主要产物有 4-氯-2-硝基苯酚及其同分异构体、羟基乙酸、草酸、丁二酸、丙二酸、6-氯己酸、乙醛酸、2,2-二羟基丙二酸和 2-乙基丙二酸等。

## 参 考 文 献:

- [1] 刘卫红. 国产硝基氯化苯大而不强[J]. 农药市场信息, 2010, (8): 32.
- [2] NAIR R S, JOHANNSEN F R, LEVINSKAS G J, et al. Subchronic inhalation toxicity of p-nitroaniline and p-nitrochlorobenzene in rats [J]. Fundamental and Applied Toxicology, 1986, 6(4): 618-627.
- [3] NAIR R S, JOHANNSEN F R, LEVINSKAS G J, et al. Assessment of toxicity of o-nitrochlorobenzene in rats following a 4-week inhalation exposure [J]. Fundamental and Applied Toxicology, 1986, 7(4): 609-614.
- [4] VOLSKAY V T, GRADY JR C P L. Respiration inhibition kinetic analysis [J]. Water Research, 1990, 24(7): 863-874.
- [5] TRAVLOS G S, MAHLER J, RAGAN H A, et al. Thirteen-week inhalation toxicity of 2- and 4-chloronitrobenzene in F344/N rats and B6C3F1 mice [J]. Fundamental and Applied Toxicology, 1996, 30(1): 75-92.

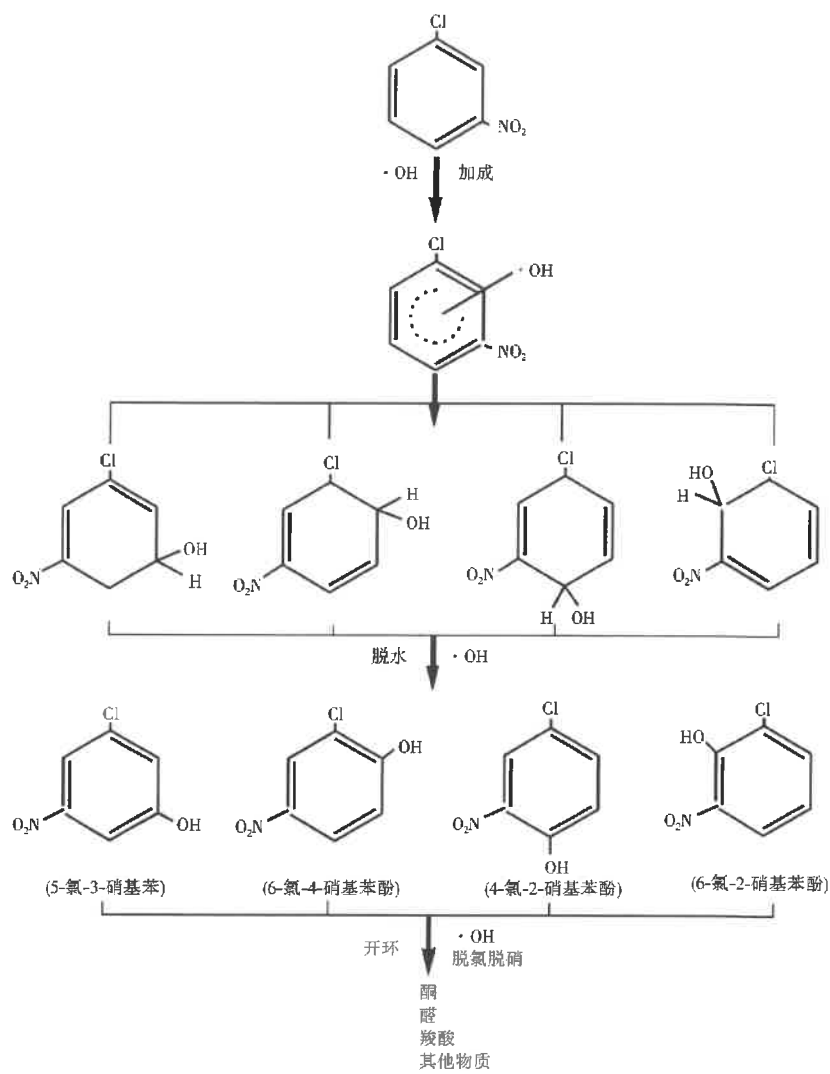


图 12 Fenton 氧化 *m*-CINB 可能的降解途径  
Fig. 12 Possible degradation pathway of *m*-CINB by Fenton oxidation

- [6] LI Qing, MINAMI M, INAGAKI H. Acute and subchronic immunotoxicity of p-chloronitrobenzene in mice. I. Effect of natural killer, cytotoxic T-lymphocyte activities and mitogen-stimulated lymphocyte proliferation[J]. Toxicology, 1998, 127(1/2/3): 223-232.
- [7] LI Qing, MINAMI M, HANAOKA T, et al. Acute immunotoxicity of p-chloronitrobenzene in mice. II. Effect of p-chloronitrobenzene on the immunophenotype of murine splenocytes determined by flow cytometry[J]. Toxicology, 1999, 137(1): 35-45.
- [8] JONES C R, LIU Yuying, SEPAI O, et al. Internal exposure, health effects, and cancer risk of humans exposed to chloronitrobenzene[J]. Environmental Science & Technology, 2006, 40(1): 387-394.
- [9] MATSUMOTO M, UMEDA Y, SENOH H, et al. Two-year feed study of carcinogenicity and chronic toxicity of ortho-chloronitrobenzene in rats and mice[J]. The Journal of Toxicological Sciences, 2006, 31(3): 247-264.
- [10] 田怀军, 舒为群, 张学奎, 等. 长江、嘉陵江(重庆段)源水有机污染物的研究[J]. 长江流域资源与环境, 2003, 12(2): 118-123.
- [11] 王玲玲, 朱叙超, 李明. 河南境内黄河流域集中式城市饮用水源水有机污染特性研究[J]. 环境污染与防治, 2004, 26(2): 104-106.
- [12] 王若平. 固相微萃取-毛细管气相色谱法快速同步分析水中硝基苯类及氯苯类化合物[J]. 中国环境监测, 2005, 21(6): 15-19.
- [13] 刘云, 沈幸, 鲜啟鸣, 等. 地表水中微量氯代芳烃和硝基取代芳烃化合物的分析方法[J]. 环境化学, 2005, 24(4): 463-466.
- [14] LI Xiang, CHEN Jianmin, DU Lichun. Analysis of chloro- and nitrobenzenes in water by a simple polyaniline-based solid-phase microextraction coupled with gas chromatography[J]. Journal of Chromatography A, 2007, 1140(1/2): 21-28.
- [15] 王世和, 金杭, 杨新萍, 等. 含氯苯和对邻硝基氯苯农药废水的混凝-氧化预处理[J]. 化工环保, 2002, 22(1): 31-34.
- [16] 班福忱, 李亚峰, 胡俊生, 等. 电-Fenton 法处理五氯硝基苯废水[J]. 沈阳建筑大学学报: 自然科学版, 2005, 21(6): 723-725.

(下转第 68 页)